

Tadeusz RODACKI

Instytut Podstawowych Problemów
Elektrotechniki i Energoelektroniki
Politechnika Śląska

Andrzej DUDA

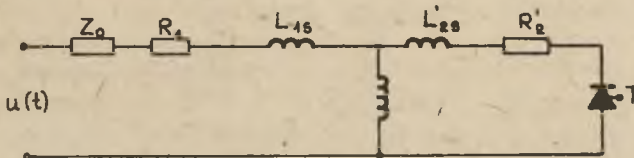
Instytut Elektrotechniki
WSI - Opole

TYRYSTOROWO-MAGNETYCZNY REGULATOR NAPIĘCIA

Streszczenie. W artykule omówiono zasadę działania i sposoby obliczenia tyrystorowo-magnetycznego regulatora napięcia w układzie transformatorowym^{x)}. Wyprowadzono równania opisujące podstawowe zależności i charakterystyki regulatora tyrystorowo-magnetycznego.

1. Zasada działania regulatora tyrystorowo-magnetycznego

Regulator tyrystorowo-magnetyczny w układzie transformatorowym zbudowany jest z rdzenia, na którym nawinięte są dwa uzwojenia analogicznie, jak w transformatorze jednofazowym: uzwojenie robocze o liczbie zwojów z_r i uzwojenie sterujące o liczbie zwojów z_s . W szereg z uzwojeniem roboczym włączona jest impedancja obciążenia Z_o , natomiast uzwojenie sterujące zbocznikowane jest tyrystorem T. Schemat zastępczy regulatora tyrystorowo-magnetycznego przedstawia rys. 1.



Rys. 1. Schemat zastępczy regulatora T-M

W celu objaśnienia zasady działania regulatora T-M przyjęto następujące założenia upraszczające: nie uwzględniono prądu magnesującego, przyjęto, że pętla histerezy magnetycznej ma współczynnik prostokątności równy jedności, pominięto wpływ impedancji wzdłużnej w schemacie zastępczym, za-

^{x)} Patent PRL nr 72715.

łożono, że maksymalne napięcie zasilania jest mniejsze lub równe napięciu krytycznemu.

Okres pracy regulatora T-M podzielono na dwa półokresy:

- półokres sterowania, w którym poziom indukcji w rdzeniu B_g jest ustalony przez włączenie tyrystora impulsem brankowym. Prąd płynie wtedy w uzwojeniu roboczym i sterującym,
- półokres nasycenia, w którym rdziej jest przemagnesowany od indukcji B_g do indukcji nasycenia B_n . W chwili nasycenia się rdzenia prąd płynie tylko w uzwojeniu roboczym.

W półokresie sterowania w przedziale $0 \leq \omega t \leq \alpha_z$ indukcja w rdzeniu zmienia się od wartości B_n według zależności

$$B = B_n + \frac{U_n}{\omega z_r S} \int_0^{\alpha_z} (-\sin \omega t) d\omega t = B_n \cos \alpha_z.$$

Od momentu załączenia tyrystora do końca półokresu sterowania $\omega t = \pi$ indukcja w rdzeniu ma wartość stałą i równą

$$B_g = B_n \cos \alpha_z.$$

W czasie półokresu nasycenia w przedziale $0 \leq \omega t \leq \alpha_n$ indukcja w rdzeniu opisana jest zależnością

$$B = B_g + \frac{U_n}{\omega z_r S} \int_0^{\alpha_z} (\sin \omega t) d\omega t = B_g + B_n (1 - \cos \alpha_z) = B_n (1 - \cos \alpha_z + \cos \alpha_z),$$

gdzie α - bieżący kąt fazowy liczony od początku półokresu nasycenia. Porównując powyższe równanie z indukcją nasycenia, otrzymamy

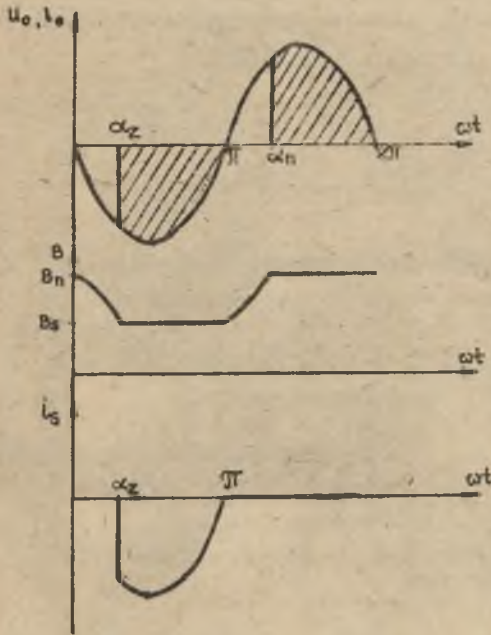
$$\alpha_z = \alpha_n.$$

Od chwili wejścia w nasycenie do końca półokresu nasycenia indukcja pozostaje stała i równa B_n . Przebiegi prądu i indukcji dla obciążenia rezystancyjnego przedstawia rys. 2.

Analizując charakterystyki regulatora T-M przy założeniach upraszczających podanych powyżej, można stwierdzić, że są one bardzo podobne do charakterystyk tyrystorowego regulatora napięcia przemiennego. W porównaniu jednak do regulatorów tyrystorowych regulatory T-M posiadają następujące zalety:

- możliwość regulacji wysokich napięć poprzez odpowiedni dobór przekładni transformatora,

- galwaniczne odizolowanie układu sterowania i regulacji od obwodów siłowych,
- prostą budowę układu sterowania i regulacji.



Rys. 2. Przebiegi prądów i indukcji w regulatorze T-M przy obciążeniu rezystancyjnym i przyjętych założeniach upraszczających

matu zastępczego transformatora. Dlatego też, chcąc określić możliwości zastosowania regulatora T-M, jego właściwości i charakterystyki, należy przeprowadzić analizę pracy regulatora T-M w oparciu o model jak najbardziej zbliżony do układu rzeczywistego.

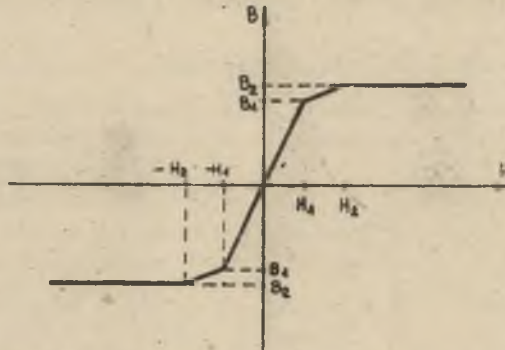
2. Analiza pracy regulatora T-M z uwzględnieniem prądu magnetyzującego

Przyjęto następujące założenia:

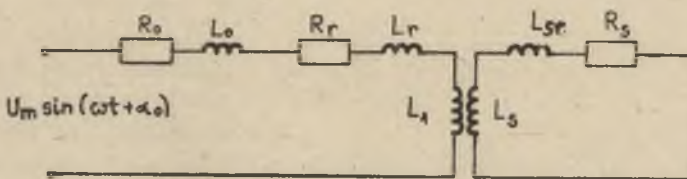
- charakterystyka magnesowania rdzenia aprokymowana jest trójodcinkowo (rys. 3) i nie uwzględniono zjawiska histerezy,
- regulator zasilany jest napięciem przemiennym $u(t) = U_m \sin \omega t$ i

$$\frac{U_m}{\omega L} \ll B_1$$

Istotną cechą rzeczywistych regulatorów T-M jest istnienie prądu biegu jałowego, którego wielkość zależy od sposobu konstrukcji i wykonania transformatora. Istnienie tego prądu może być wadą przy stosowaniu regulatorów T-M w układach napędowych, ale może stanowić cenną zaletę tych regulatorów, przy zastosowaniu ich w układach zasilania łuku elektrycznego. Prąd ten będzie dodatnio wpływał na stabilność palenia się łuku elektrycznego. W rzeczywistych regulatorach T-M charakterystyka magnesowania rdzenia nie jest idealnie prostokątna, występuje zjawisko histerezy, przenikalność magnetyczna materiału, z którego wykonany jest rdzeń, ma wartość skończoną oraz występuje impedancja wzdłużna sche-



Rys. 3. Aproksymowana charakterystyka magnesowania rdzenia



Rys. 4. Schemat zastępczy regulatora T-M dla okresu przewodzenia tyrystora

Załóżmy, że w chwili $\omega t = \pi + \alpha_z = \alpha_o$ następuje załączenie tyrystora. Schemat zastępczy regulatora T-M dla okresu przewodzenia tyrystora jest przedstawiony na rys. 4, gdzie:

- R_o, X_o - rezystancja i reaktancja obciążenia,
- R_r, X_r - rezystancja i reaktancja rozproszenia uzwojenia roboczego,
- R_s, X_{sr} - rezystancja i reaktancja rozproszenia uzwojenia sterującego,
- X_1 - reaktancja uzwojenia roboczego,
- X_s - reaktancja uzwojenia sterującego:

$$X_1 = \omega L_1, \quad L_1 = \frac{\mu_1 z_r^2 S}{l}, \quad \mu_1 = \frac{B_1}{H_1},$$

$$X_s = \omega L_s, \quad L_s = \frac{\mu_s z_s^2 S}{l},$$

- S - przekrój rdzenia,
- l - długość drogi magnetycznej rdzenia,
- $I(O)$ - prąd płynący przez uzwojenia robocze w chwili załączenia tyrystora,
- M - współczynnik indukcyjności wzajemnej ($M = \sqrt{L_1 L_s}$),

$i(t)$ - prąd płynący w uzwojeniu roboczym po załączeniu tyrystora,

$i_s(t)$ - prąd płynący w uzwojeniu sterującym po załączeniu tyrystora.

Po przesunięciu początku układu współrzędnych do punktu α_0 pracę regulatora T-M po załączeniu tyrystora opisuje układ równań

$$(R_0 + R_r)i'(t) + L_1 \frac{di'(t)}{dt} + L_r \frac{di'(t)}{dt} + L_0 \frac{di'(t)}{dt} = U_m \sin(\omega t + \alpha_0) \quad (1)$$

$$-M \frac{di_s'(t)}{dt} + L_{sr} \frac{di_s'(t)}{dt} + R_s i_s'(t) + L_s \frac{di_s'(t)}{dt} = 0$$

$i'(t)$, $i_s'(t)$ - przebiegi czasowe prądów w układzie współrzędnych o początku w pkt α_0 . Stosując do układu równań (1) przekształcenie Laplace'a i uwzględniając, że:

$$i_s'(0) = 0; \quad I'(0) = I(0); \quad L_{ss} = L_{sr} + L_s; \quad L_{11} = L_0 + L_r + L_1;$$

$$Z_1(s) = R_2 + sL_{11}; \quad Z_2(s) = R_s + sL_{ss}.$$

otrzymujemy układ równań:

$$Z_1(s)I(s) - sMI_s'(s) - L_{11}I(0) = \frac{sU_m \sin \alpha_0 + U_m \cos \alpha_0}{s^2 + \omega^2},$$

$$sMI(s) + Z_2(s)I_s'(s) + MI(0) = 0, \quad (2)$$

$$\alpha_0 = \tilde{\alpha} + \alpha_z.$$

Rozwiązując układ równań (2) otrzymujemy operatorowe równanie prądu w uzwojeniu roboczym $I(s)$ i w uzwojeniu sterującym $I_s'(s)$. Obliczając transformate odwrotną oraz wracając do poprzedniego układu współrzędnych (początek w pkt 0) otrzymujemy szeregowe przebiegi prądów $i(t)$ i $i_s(t)$.

$$i(t) = C_1 \exp\left[\frac{s_1}{\omega} (\omega t - \alpha_0)\right] + C_2 \exp\left[\frac{s_2}{\omega} (\omega t - \alpha_0)\right] + C_3 \cos \omega t + C_4 \sin \omega t, \quad (3)$$

gdzie:

$$C_1 = \frac{s_1^3(L_{ss}L_{11}I(0) - L_1L_sI(0) + s_1^2(U_mL_{ss}\sin\alpha_0 + R_sL_{11}I(0)))}{(s_1^2 + \omega^2)(s_1 - s_2)(L_{11}L_{ss} - L_1L_s)} +$$

$$+ \frac{s_1(U_mR_s\sin\alpha_0 + U_mL_{ss}\omega\cos\alpha_0 - \omega^2L_1L_sI(0) + L_{ss}L_{11}I(0)\omega^2)}{(s_1^2 + \omega^2)(s_1 - s_2)(L_{11}L_{ss} - L_1L_s)} +$$

$$+ \frac{U_mR_s\omega\cos\alpha_0 + \omega^2R_sL_{11}I(0)}{(s_1^2 + \omega^2)(s_1 - s_2)(L_{11}L_{ss} - L_1L_s)}.$$

$$C_2 = \frac{s_2^3(L_{ss}L_{11}I(0) - L_1L_sI(0)) + s_2^2(U_{ss}L_{ss}\sin\alpha_0 + R_sL_{11}I(0))}{(s_2^2 + \omega^2)(s_2 - s_1)(L_{ss}L_{11} - L_1L_s)}$$

$$+ \frac{s_2(U_{R_s}\sin\alpha_0 + U_{L_{ss}}\omega\cos\alpha_0 - \omega^2L_1L_sI(0) + L_{ss}L_{11}I(0)\omega^2)}{(s_2^2 + \omega^2)(s_2 - s_1)(L_{11}L_{ss} - L_1L_s)}$$

$$+ \frac{U_{R_s}\omega\cos\alpha_0 + \omega^2R_sL_{11}I(0)}{(s_2^2 + \omega^2)(s_2 - s_1)(L_{11}L_{ss} - L_1L_s)}$$

$$C_3 = \frac{L_{ss}U_{ss}s_1s_2 - \omega^3L_{ss}U_{ss} + U_{R_s}(s_1 + s_2)\omega}{(s_2 + \omega^2)(s_1^2 + \omega^2)(L_{11}L_{ss} - L_1L_s)}$$

$$C_4 = -\frac{\omega^2(s_1 + s_2)L_{ss}U_{ss} - U_{R_s}s_1s_2 + U_{ss}\omega^2R_s}{(s_2^2 + \omega^2)(s_1^2 + \omega^2)(L_{11}L_{ss} - L_1L_s)}$$

$$s_{1,2} = \frac{-(L_{ss}R_2 + L_{11}R_s) \pm \sqrt{(L_{ss}R_2 + L_{11}R_s)^2 - 4(L_{11}L_{ss} - L_1L_s)R_2R_s}}{2(L_{11}L_{ss} - L_1L_s)}$$

$$i_s(t) = C_{1s} \exp\left[\frac{s_1}{\omega}(\omega t - \alpha_0)\right] + C_{2s} \exp\left[\frac{s_2}{\omega}(\omega t - \alpha_0)\right] +$$

$$+ C_{3s} \cos \omega t + C_{4s} \sin \omega t, \quad (4)$$

gdzie:

$$C_{1s} = \frac{s_1^2 MU_{ss}\sin\alpha_0 + s_1 MU_{ss}\omega\cos\alpha_0 - R_2MI(0)s_1^2 - R_2MI(0)\omega^2}{(s_1^2 + \omega^2)(s_1 - s_2)(L_{11}L_{ss} - L_1L_s)}$$

$$C_{2s} = \frac{s_2^2 MU_{ss}\sin\alpha_0 + s_2 MU_{ss}\omega\cos\alpha_0 - R_2MI(0)s_2^2 - R_2MI(0)\omega^2}{(s_2^2 + \omega^2)(s_2 - s_1)(L_{11}L_{ss} - L_1L_s)}$$

$$C_{3s} = \frac{MU_{ss}(\omega s_1 s_2 - \omega^3)}{(L_{11}L_{ss} - L_1L_s)(s_1^2 + \omega^2)(s_2^2 + \omega^2)}$$

$$C_{4s} = -\frac{\omega^2 MU_{ss}(s_1 + s_2)}{(L_{11}L_{ss} - L_1L_s)(s_1^2 + \omega^2)(s_2^2 + \omega^2)}$$

Równania (3) i (4) są prawdziwe dla $\alpha_0 \leq \omega t \leq \alpha_0 + \lambda$, gdzie λ jest kątem przewodzenia tyristora. Kąt ten można obliczyć, przyrównując równanie (4) do zera i podstawiając $\omega t = \alpha_0 + \lambda$. Zmiana indukcyjności w przedziale $\alpha_0 \leq \omega t \leq \alpha_0 + \lambda$ dana jest wzorem

$$B_B(t) = A \left[\exp\left(\frac{s_1(\omega t - \alpha_0)}{\omega}\right) - 1 \right] + B \left[\exp\left(\frac{s_2(\omega t - \alpha_0)}{\omega}\right) - 1 \right] + C(\sin \omega t - \sin \alpha_0) + D(\cos \omega t - \cos \alpha_0) + B(0),$$

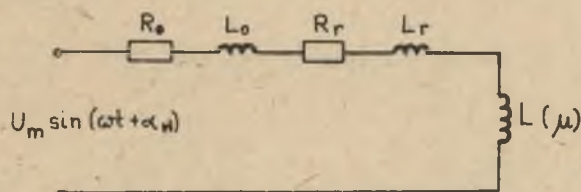
gdzie:

$$A = C_{1B} \left(\frac{R_B}{s_1 z_B} + \frac{L_B}{z_B} \right); \quad B = C_{2B} \left(\frac{R_B}{s_2 z_B} + \frac{L_B}{z_B} \right),$$

$$C = \frac{C_{3B} R_B}{\omega} + C_{4B} L_B; \quad D = L_B C_{3B} - \frac{R_B C_{4B}}{\omega}.$$

$$B(0) = \frac{\mu_1 z_B I(0)}{1}.$$

Począwszy od chwili wyłączenia tyristora, tzn. od $\omega t = \alpha_w = \alpha_0 + \lambda$ do chwili jego ponownego załączenia dla $\omega t = 2\pi + \alpha_0$, indukcyjność główna uzwojenia roboczego ulega zmianie w zależności od zmiany przenikalności magnetycznej rdzenia. Schemat zastępczy dla tego okresu pracy jest przedstawiony na rys. 5.



Rys. 5. Schemat zastępczy regulatora T-M po wyłączeniu tyristora

Korzystając z tego schematu można napisać ogólne równanie różniczkowe prawdziwe dla $\omega t \geq \alpha_w$

$$U_m \sin \omega t = (L_o + L_r + L(\mu)) \frac{di(t)}{dt} + R_2 i(t).$$

Rozwiązanie tego równania ma postać

$$i(t) = \left[i(0) - I_m \sin(\alpha_w - \varphi) \right] \exp\left[(\alpha_w - \omega t) \cot \varphi \right] + I_m \sin(\omega t - \varphi), \quad (5)$$

gdzie:

$$I_m = \frac{U_m}{\sqrt{R_2^2 + \omega^2(L_0 + L_r + I(\mu))^2}}$$

$$\varphi_m = \arctg \frac{(L_0 + L_r + L(\mu))\omega}{R_2}$$

$$R_2 = R_0 + R_r$$

W chwili $\omega t = \alpha_w$ mamy $\mu = \mu_1$; $L(\mu) = L_1 = \frac{\mu_1 z^2 S}{I_r}$; $i(0) = I(\alpha_w)$, a prąd $i_1(t)$, który płynie w uzwojeniu roboczym dla $\omega t \geq \alpha_w$, jest zgodnie z zależnością (5) określony wzorem

$$i_1(\tau) = [I(\alpha_w) - I_{m11} \sin(\alpha_w - \varphi_1)] \exp[(\alpha_w - \omega t) \operatorname{ctg} \varphi_1] + I_{m11} \sin(\omega t - \varphi_1), \quad (6)$$

gdzie:

$$I_{m11} = \frac{U_m}{\sqrt{R_2^2 + \omega^2(L_0 + L_r + L_1)^2}}, \quad \varphi_1 = \arctg \frac{\omega(L_0 + L_r + L_1)}{R_2}$$

Z równania (6) można wyprowadzić zależność opisującą przebieg indukcyjności $B_1(\tau)$

$$B_1(\tau) = -\frac{U_m}{\omega z_r S} (\cos \omega t - \cos \alpha_w) + \frac{z_0 I_{m11}}{\omega z_r S} \left[\cos(\omega t - \varphi_1 + \varphi_3) - \right. \\ \left. - \cos(\alpha_w - \varphi_1 + \varphi_3) \right] - A_1 \left[\exp((\alpha_w - \omega t) \operatorname{ctg} \varphi_1) - 1 \right] + B(0), \quad (7)$$

gdzie:

$$z_0 = \sqrt{R_2^2 + \omega^2(L_0 + L_r)^2}$$

$$\varphi_3 = \arctg \frac{\omega(L_r + L_0)}{R_2}$$

$$A_1 = \frac{L_r + L_0}{\omega z_r S} \left(1 - \frac{\operatorname{tg} \varphi_1}{\operatorname{tg} \varphi_3} \right) (I(\alpha_w) - I_{m11} \sin(\alpha_w - \varphi_1)).$$

Zależności (5) i (7) są prawdziwe w przedziale $\alpha_w \leq \omega t \leq \alpha_{z1}$, gdzie α_{z1} jest to kąt fazowy, przy którym prąd i_1 osiąga wartość $\frac{M_1 I}{z_r}$. W tym mo-

wencie indukcja w rdzeniu osiąga wartość B_1 i następuje skokowa zmiana przenikalności magnetycznej z wartości μ_1 do μ_2 , co powoduje skokową zmianę indukcyjności uzwojenia roboczego z wartości $L_1 = \frac{\mu_1 z_r^2 S}{l}$ do wartości $L_2 = \frac{\mu_2 z_r^2 S}{l}$. Wartość kąta α_{z1} można obliczyć z zależności (6), podstawiając $\omega t = \alpha_{z1}$ i $i_1(t) = \frac{H_1 l}{z_r}$. Po osiągnięciu przez indukcję wartości B_1 (dla $\omega t \geq \alpha_{z1}$) prąd w uzwojeniu roboczym jest określony równaniem

$$i_2(t) = \left[\frac{H_1 l}{z_r} - I_{m22} \sin(\alpha_{z1} - \varphi_2) \right] \exp \left[(\alpha_{z1} - \omega t) \operatorname{ctg} \varphi_2 \right] + I_{m22} \sin(\omega t - \varphi_2) \quad (8)$$

a indukcja w rdzeniu

$$B_2(t) = - \frac{U_m}{\omega z_r S} (\cos \omega t - \cos \alpha_{z1}) + \frac{z_o I_{m22}}{\omega z_r S} \left[\cos(\omega t - \varphi_2 + \varphi_3) - \cos(\alpha_{z1} - \varphi_2 + \varphi_3) \right] - A_2 \left\{ \exp \left[(\alpha_{z1} - \omega t) \operatorname{ctg} \varphi_2 \right] - 1 \right\} + B_1,$$

gdzie:

$$X_{22} = \omega L_{22} = \omega (L_o + L_r + L_2),$$

$$I_{m22} = \frac{U_m}{\sqrt{R_2^2 + X_{22}^2}},$$

$$\varphi_2 = \operatorname{arctg} \frac{X_{22}}{R_2},$$

$$A_2 = \frac{L_r + L_o}{\omega z_r S} \left(1 - \frac{\operatorname{tg} \varphi_2}{\operatorname{tg} \varphi_3} \right) \left[\frac{H_1 l}{z_r} - I_{m22} \sin(\alpha_{z1} - \varphi_1) \right].$$

Równania (8) i (9) są określone w przedziale $\alpha_{z1} \leq \omega t \leq \alpha_{z2}$, gdzie α_{z2} jest to kąt, przy którym indukcja w rdzeniu osiąga wartość B_2 , a prąd wartość $\frac{H_2 l}{z_r}$. Wartość kąta α_{z2} obliczymy z równania (8) podstawiając $\omega t = \alpha_{z2}$ i $i_1(t) = \frac{H_2 l}{z_r}$.

Po osiągnięciu przez indukcję wartości B_2 następuje nasycenie rdzenia a co za tym idzie indukcyjność uzwojenia maleje skokowo do zera. Przebieg prądu dla okresu nasycenia, tzn. dla $\alpha_{z2} \leq \omega t \leq \alpha_{w1}$, dany jest równaniem

$$i_3(t) = \left[\frac{H_2 I}{z_r} - I_{m33} \sin(\alpha_{z2} - \varphi_3) \right] \exp \left[(\alpha_{z2} - \omega t) \operatorname{ctg} \varphi_3 \right] + I_{m33} \sin(\omega t - \varphi_3), \quad (10)$$

gdzie $I_{m33} = \frac{U_m}{\sqrt{R_2 + \omega^2(L_0 + L_r)^2}}$, a α_{w1} jest kątem, przy którym prąd

osiąga ponownie wartość $\frac{H_2 I}{z_r}$. Kąt ten można obliczyć z równania (10), podstawiając $\omega t = \alpha_{w1}$ i $i_3(t) = \frac{H_2 I}{z_r}$.

Dla wartości $\omega t \geq \alpha_{w1}$ indukcyjność uzwojenia roboczego ponownie osiąga wartość L_2 i rozpoczyna się rozmagneosowanie rdzenia. Do chwili $\omega t = \alpha_{w2}$, w której indukcja osiąga wartość B_1 , prąd płynący przez uzwojenie robocze zmienia się wg zależności

$$i_2'(t) = \left[\frac{H_2 I}{z_r} - I_{m22} \sin(\alpha_{w1} - \varphi_2) \right] \exp \left[(\alpha_{w1} - \omega t) \operatorname{ctg} \varphi_2 \right] + I_{m22} \sin(\omega t - \varphi_2) \quad (11)$$

a indukcja w rdzeniu

$$B_2'(t) = -\frac{U_m}{\omega z_r S} (\cos \omega t - \cos \alpha_{w1}) + \frac{z_0 I_{m22}}{\omega z_r S} \left[\cos(\omega t - \varphi_2 + \varphi_3) - \cos(\alpha_{w1} - \varphi_2 + \varphi_3) \right] - A_2' \left\{ \exp \left[(\alpha_{w1} - \omega t) \operatorname{ctg} \varphi_2 \right] - 1 \right\} + B_2, \quad (12)$$

gdzie

$$A_2' = \frac{L_r + L_0}{\omega z_r S} \left(1 - \frac{\operatorname{tg} \varphi_2}{\operatorname{tg} \varphi_3} \right) \left(\frac{H_2 I}{z_r} - I_{m22} \sin(\alpha_{w1} - \varphi_2) \right).$$

Wartość kąta α_{w2} można wyznaczyć z zależności (11), wstawiając $\omega t = \alpha_{w2}$ i $i_2'(t) = \frac{H_2 I}{z_r}$.

Od chwili $\omega t = \alpha_{w2}$ przenikalność magnetyczna ma ponownie wartość μ_1 , a indukcyjność uzwojenia roboczego wartość L_1 . Prąd i indukcja określane są wtedy zależnościami:

$$i_1'(t) = \left[\frac{H_1 I}{z_r} - I_{m11} \sin(\alpha_{w2} - \varphi_1) \right] \exp \left[(\alpha_{w2} - \omega t) \operatorname{ctg} \varphi_1 \right] + I_{m11} \sin(\omega t - \varphi_1), \quad (13)$$

$$\begin{aligned}
 B_1'(t) = & -\frac{U_m}{\omega Z_r S} (\cos \omega t - \cos \alpha_{w2}) + \frac{Z_0 I_{m11}}{\omega Z_r S} \left[\cos(\omega t - \varphi_1 + \varphi_3) - \right. \\
 & \left. - \cos(\alpha_{w2} - \varphi_1 + \varphi_3) \right] + A_1' \left[\exp((\alpha_{w2} - \omega t) \text{ctg} \varphi_1) - 1 \right] + B_1. \quad (14)
 \end{aligned}$$

gdzie

$$A_1' = \frac{L_r + L_0}{\omega Z_r S} \left(1 - \frac{\text{tg} \varphi_1}{\text{tg} \varphi_3} \right) \left(\frac{H_1 1}{Z_r} - I_{m11} \sin(\alpha_{w2} - \varphi_1) \right).$$

Równania (13) i (14) są prawdziwe dla $\alpha_{w2} \leq \omega t \leq 2\pi + \alpha_0$. W chwili $2\pi + \alpha_0$ następuje ponowne załączenie tyrystora. Prąd w uzwojeniu roboczym $I(0)$, który płynie w chwili załączenia tyrystora, można obliczyć z równania (13), po podstawieniu

$$\omega t = 2\pi + \alpha_0 \quad \text{i} \quad i_1'(t) = i_1'(2\pi + \alpha_0) = I(0).$$

Wyprowadzone powyżej równania opisują w miarę dokładnie pracę regulatora T-M, jednakże korzystanie z nich w praktyce ze względu na złożoną postać jest bardzo trudne, nawet przy zastosowaniu maszyny cyfrowej. Szczególnie kłopotliwe jest wyznaczenie zależności $I(0) = f(\alpha_z)$, ponieważ:

$$I(0) = f_1(\alpha_z, \alpha_{w2}, \beta)$$

oraz

$$\alpha_{w2} = f_2(\alpha_z, I(0), \lambda, \alpha_{z1}, \alpha_{z2}, \alpha_{w1}, \beta),$$

$$\alpha_{w1} = f_3(\alpha_z, I(0), \lambda, \alpha_{z1}, \alpha_{z2}, \beta),$$

$$\alpha_{z2} = f_4(\alpha_z, I(0), \lambda, \alpha_{z1}, \beta),$$

$$\alpha_{z1} = f_5(\alpha_z, I(0), \lambda, \beta),$$

$$\lambda = f_6(\alpha_z, I(0), \beta),$$

gdzie β - parametry elektryczne regulatora T-M oraz ze względu na to, że funkcje f_1-f_6 są transcendentne. W celu wyznaczenia zależności $I(0) = f(\alpha_z)$ można wykorzystać twierdzenie, że odpowiedź układu na okresowe wymuszenie (załączenie tyrystora) będzie w stanie ustalonym także okresowa. Oznacza to, że dla stanu ustalonego będą spełnione warunki:

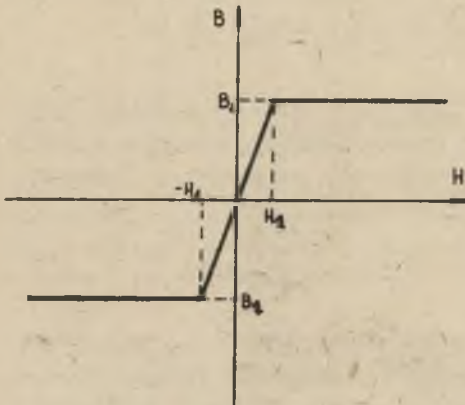
$$I(0) = i_1'(2\pi + \alpha_0),$$

$$B(0) = B_1'(2\pi + \alpha_0).$$

Ze względu na te trudności obliczenia przeprowadzono w dwu wariantach, wprowadzając dalsze założenia upraszczające.

3. Obliczenia przebiegów prądu obciążenia z uwzględnieniem prądu magnesującego, przy dwudcinkowej aproksymacji charakterystyki magnesowania

W porównaniu do rozważań z pkt. 2 wprowadzono uproszczenia polegające na dwudcinkowej aproksymacji charakterystyki magnesowania (rys. 6).



Rys. 6. Charakterystyka magnesowania aproksymowana dwudcinkowo

$B_1(t)$ określone są równaniami (5) i (6). W przedziale $\alpha_{z1} \leq \omega t \leq \alpha_{w1}$ rdzeń jest nasycony (α_{w1} - kąt wyjścia z nasycenia). Prąd określony jest równaniem

$$i_3(t) = \left[\frac{H_1 l}{Z_1} - I_{m33} \sin(\alpha_{z1} - \varphi_3) \right] \exp \left[(\alpha_{z1} - \omega t) \operatorname{ctg} \varphi_3 \right] + I_{m33} \sin(\omega t - \varphi_3), \quad (15)$$

gdzie:

I_{m33} określony jest analogicznie, jak w równaniu (10),
 $B(t) = B_1 = \text{const.}$

W przedziale $\alpha_{w1} \leq \omega t \leq 2\pi + \alpha_0$, to znaczy w przedziale od chwili wyjścia z nasycenia do ponownego załączenia tyrystora:

$$i_1'(t) = \left[\frac{H_1 l}{Z_r} - I_{m11} \sin(\alpha_{w1} - \varphi_1) \right] \exp \left[(\alpha_{w1} - \omega t) \operatorname{ctg} \varphi_1 \right] + I_{m11} \sin(\omega t - \varphi_1), \quad (16)$$

Przyjęcie tego założenia nie ma żadnego wpływu na pracę regulatora w czasie przewodzenia tyrystora, tzn. w przedziale

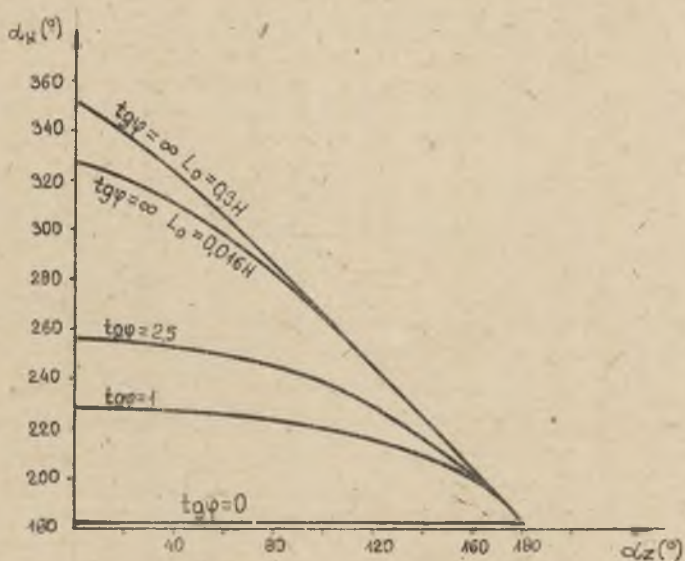
$$\pi + \alpha_z \leq \omega t \leq \pi + \alpha_z + \lambda = \alpha_w$$

równania opisujące przebieg prądu $i(t)$, $i_1(t)$, $B_1(t)$ są takie same, jak wyprowadzone w pkt. 2. Pozwala to jednak uprościć równania dla okresu, w którym tyrystor nie przewodzi.

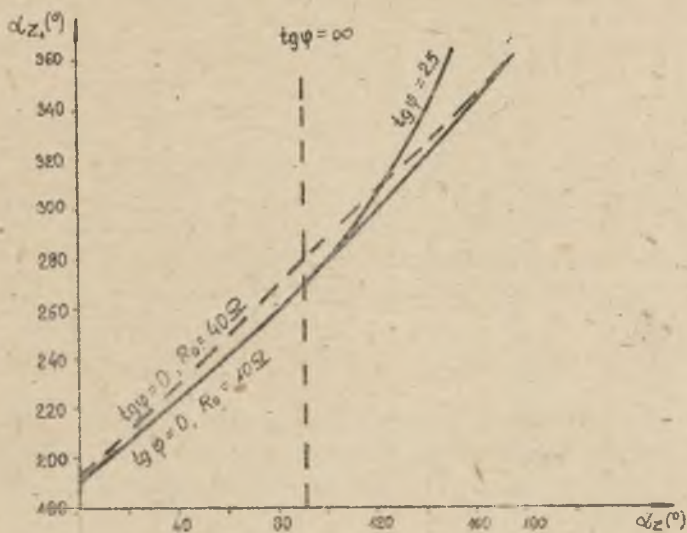
W przedziale $\alpha_w \leq \omega t \leq \alpha_{z1}$, tzn. od chwili wyłączenia tyrystora do chwili wejścia rdzenia w nasycenie, prąd $i_1(t)$ i indukcja

$B_1(t)$ określone są równaniami (5) i (6). W przedziale $\alpha_{z1} \leq \omega t \leq \alpha_{w1}$ rdzeń

jest nasycony (α_{w1} - kąt wyjścia z nasycenia). Prąd określony jest równaniem



Rys. 7. Wykresy funkcji $\alpha_w = f(\alpha_z)$



Rys. 8. Wykresy funkcji $\alpha_{z1} = f(\alpha_z)$

Rys. 9. Wykresy funkcji $I(0) = f(\alpha_z)$

$$B_1'(t) = -\frac{U_m}{\omega Z_r S} (\cos \omega t - \cos \alpha_{w1}) + \frac{Z_0 I_{m11}}{2 \omega S} \left[\cos(\omega t - \varphi_1 + \varphi_3) - \cos(\alpha_{w1} - \varphi_1 + \varphi_3) \right] - A_1' \left\{ \exp[(\alpha_{w1} - \omega t) \operatorname{ctg} \varphi_1] - 1 \right\} + B_1. \quad (17)$$

gdzie

$$A_1' = \frac{L_r + L_0}{\omega Z_r S} \left(1 - \frac{\operatorname{tg} \varphi_1}{\operatorname{tg} \varphi_3} \right) \left(\frac{M_1 l}{Z_r} - I_{m11} \sin(\alpha_{w1} - \varphi_1) \right)$$

Obliczenie przeprowadzono przy zastosowaniu maszyny cyfrowej wykorzystując fakt, że w stanie ustalonym $I(0) = i_1'(2\pi + \alpha_0)$ i $B(0) = B_1'(2\pi + \alpha_0)$.

Program obliczeń sporządzono w oparciu o następujący algorytm:

- przyjęć wartość prądu $I(0) = I_{m11} \sin(\alpha_0 - \varphi_1)$ dla danego kąta załączenia tyrystora α_0 ,
- dla danego α_0 , $I(0)$ i $B(0)$, obliczyć wartości λ , α_{z1} , α_{w1} ,
- sprawdzić, czy spełniony jest warunek

$$I(0) = i_1'(2\pi + \alpha_0) \quad \text{lub} \quad B(0) = B_1'(2\pi + \alpha_0),$$

- w przypadku kiedy $I(0) \neq i_1'(2\pi + \alpha_0)$ lub $B(0) \neq B_1'(2\pi + \alpha_0)$ wykonać ponowne obliczenia λ , α_{z1} , α_{w1} , przyjmując do tych obliczeń wartość $I(0) = i_1'(2\pi + \alpha_0)$,
- obliczenia zakończyć, gdy nastąpi spełnienie warunku

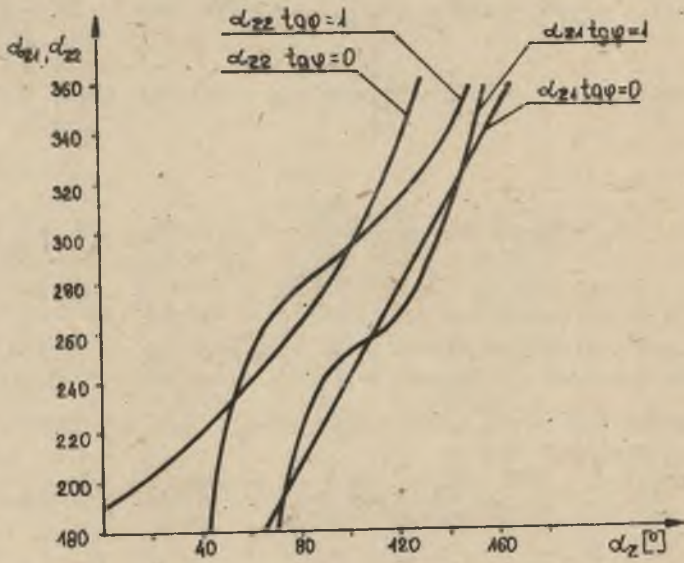
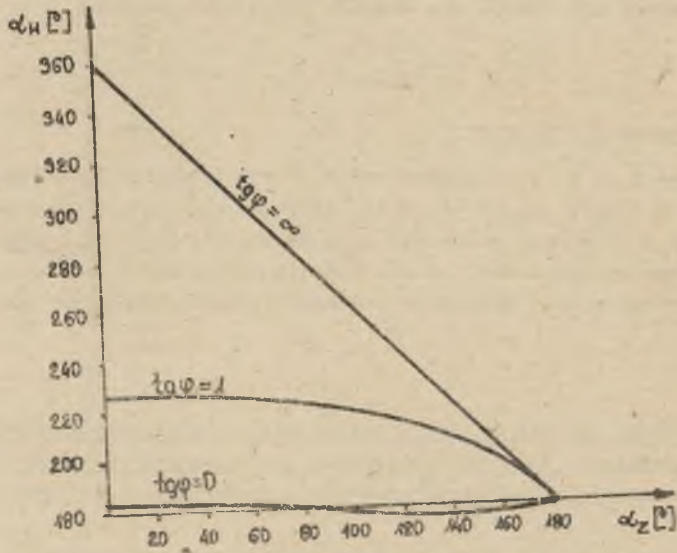
$$I(0) = i_1'(2(k-1)\pi + \alpha_0) = i_1'(2k\pi + \alpha_0)$$

z dokładnością do 0,05.

Na rysunkach 7, 8, 9 przedstawiono w formie graficznej obliczone zależności $\alpha_{w1} = f(\alpha_0)$; $\alpha_{z1} = f(\alpha_0)$ i $I(0) = f(\alpha_0)$ dla niektórych obciążeń. W oparciu o te wyniki można obliczyć przebiegi prądu obciążenia i indukcji w rdzeniu regulatora T-M dla różnych kątów wysterowania i różnych obciążeń. Przykładowo, obliczone przebiegi prądu obciążenia zamieszczone na rys. 13.

4. Obliczenie przebiegów prądu obciążenia z uwzględnieniem prądu magnesującego, przy trójfazowej aproksymacji charakterystyki magnesowania i pominięciu impedancji wzdłużnej transformatora

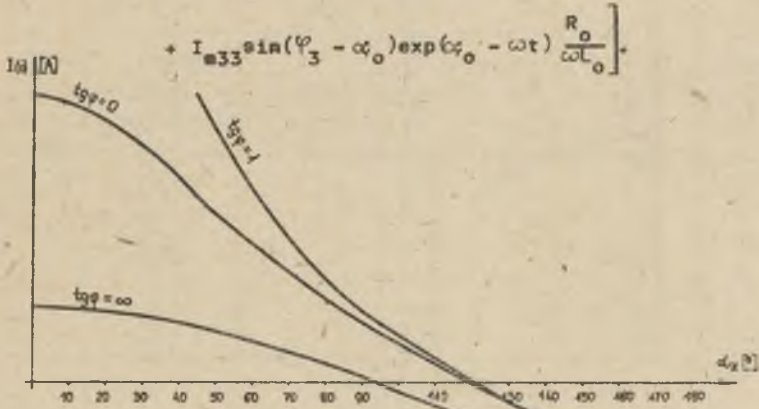
W porównaniu do rozważań z pkt. 2 wprowadzono uproszczenie polegające na pominięciu w obliczeniach impedancji wzdłużnej transformatora. Przyję-

Rys. 10. Wykresy funkcji $\alpha_{z1}, \alpha_{z2} = f(\alpha_z)$ Rys. 11. Wykresy funkcji $\alpha_{\mu} = f(\alpha_z)$

cie takiego założenia bardzo upraszcza równanie dla okresu przewodzenia tyrystora. Mają one teraz następującą postać:

$$i(t) = I_{m33} \sin(\omega t - \varphi_3) + \left[I_{m33} \sin(\varphi_3 - \alpha_0) + I(0) \right] e^{(\alpha_0 - \omega t) \frac{R_0}{\omega L_0}}$$

$$i_s(t) = \frac{M}{L_s} \left[I_{m33} \sin(\omega t - \varphi_3) - I(0) (1 - \exp(\alpha_0 - \omega t) \frac{R_0}{\omega L_0}) + \right.$$



Rys. 12. Wykresy funkcji $I(0) = f(\alpha_0)$

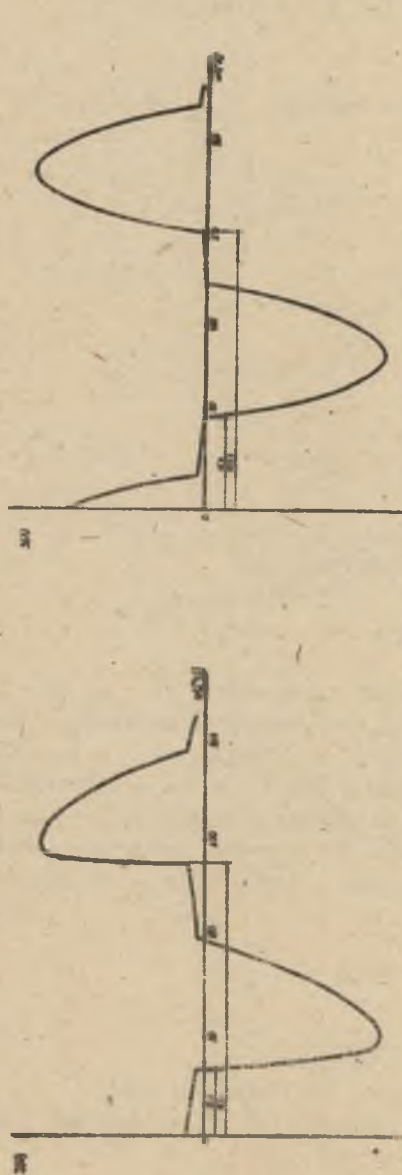
Równania dla półokresu nasycenia mają postać identyczną, jak w pkt. 2. Należy tylko wstawić do nich $R_r = 0$ i $L_r = 0$. Dla tego przypadku przeprowadzono obliczenia analogiczne, jak w pkt. 3. Obliczono zależności $\alpha_{z1} = f(\alpha_z)$; $\alpha_{w} = f(\alpha_z)$; $\alpha_{z2} = f(\alpha_z)$; $I(0) = f(\alpha_z)$, które przedstawiono na rysunkach 10, 11, 12. W oparciu o te zależności można obliczyć przebiegi prądu obciążenia i indukcji w rdzeniu dla różnych kątów wysterowania i różnych obciążeń. Przykładowo obliczone przebiegi prądu obciążenia zamieszczono na rys. 14.

LITERATURA

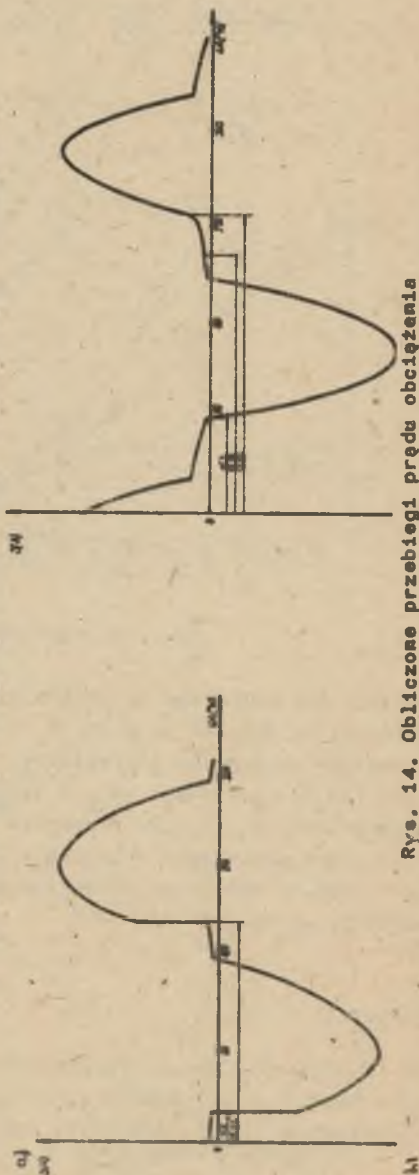
- [1] LUCIŃSKI J.: Układy tyrystorowe. WNT, Warszawa 1973.
- [2] ROZENBLAD M.A.: Wzmacniacze magnetyczne. WNT, Warszawa 1965.
- [3] ROZENBLAD M.A.: Magnitnyje elementy awtomatiki i wycisliatelnoj tiechniki, Nauka, Moskwa 1974.

Wpłynęło do Redakcji w lutym 1980

Ręczęnt:
Doc. dr Henryk Mońka



Rys. 13. Obliczone przebiegi obciążenia
 a) obciążenie rezystancyjne, b) obciążenie rezystancyjno-indukcyjne



Rys. 14. Obliczone przebiegi prądu obciążenia
 a) obciążenie rezystancyjne, b) obciążenie rezystancyjno-indukcyjne

ТИРИСТОРНО-МАГНИТНЫЕ РЕГУЛЯТОРЫ ПЕРЕМЕННОГО НАПРЯЖЕНИЯ

Резюме

В работе представлены принципы действия, метод расчета и аналитически определенные основные зависимости и характеристики для для тиристорно-магнитного регулятора переменного напряжения.

THE THYRISTOR-MAGNETIC REGULATORS OF ALTERNATING VOLTAGE

Summary

The paper presents theoretical discussion on thyristor-magnetic regulators of alternating voltage.

The fundamental equations and characteristics have been presented.